

# OPTIMIZATION OF EMISSION DOMAIN FIRST-EMISSION THERMIONIC CATHODE IN MILLIMETER-WAVE MAGNETRON

Volovenko M.V.

*Kharkiv National University of Radioelectronics*

14, Lenin Ave., Kharkiv, 61166, Ukraine

Ph.: (+38 057) 7201331, e-mail: mykola@kture.kharkov.ua

**Abstract** — This paper describes the results of research of the electrostatic potential distribution in the gap between the first-emission cathode and the interaction space in the millimeter-wave magnetron. It is shown that electrons emitted from the ring of  $1,05r_k - 0,95r_A$  radius only take part in the growth of secondary-emission electrons in the magnetron interaction space.

## ОПТИМИЗАЦІЯ ОБЛАСТІ ЕМІССІЇ БОКОВОГО ПЕРВИЧНОЕМІССІОННОГО ТЕРМОКАТОДА В МАГНЕТРОНАХ МИЛЛІМЕТРОВОГО ДІАПАЗОНА ДЛІН ВОЛН

Воловенко М. В.

*Харківський національний університет радіоелектроніки*

пр. Леніна, 14, Харків, 61166, Україна

тел.: (+38 057) 7201331, e-mail: mykola@kture.kharkov.ua

**Аннотація** — Приведені результати дослідження розподілу електростатичного потенціала між простором взаємодії та боковим термоемісійним катодом в магнетроні міліметрового діапазону. Показано, що тільки електрони, емітувані з кільця радіусом  $1,05r_k - 0,95r_A$  беруть участь у формуванні вторично-емісійних електронів в просторі взаємодії магнетрона.

### I. Введение

Магнетроны ММДВ в основном работают со ВЭК. Существуют разные способы для возникновения вторичной эмиссии. Одним из способов создания вторичной эмиссии является встречел электронов с боковым термоэмиссионным катодом. С целью повышения эффективности использования эмиттера первичных электронов в работах [1,2] была предложено использовать в качестве термоэмиссионного катода кольца радиусом  $1,05r_k - 0,95r_A$ . В связи с вышеизложенным, целью данной работы является рассмотрение траекторий первичных электронов под действием торцевого электростатического поля.

### II. Основная часть

Поскольку область „классического“ магнетрона рассматривается не будет, то уравнения использованной [1] модели упрощаются. А именно: уравнение движения будет иметь вид

$$\frac{dv_z}{dt} = |\eta| \frac{\partial U_s}{\partial z}. \quad (1)$$

Распределение электростатического поля для рассматриваемой области можно получить как решение уравнения Лапласа для этой области. Уравнение Лапласа для этого случая будет иметь вид

$$\frac{\partial^2 U}{\partial z^2} + \frac{\partial^2 U}{\partial r^2} = 0. \quad (2)$$

Это обусловлено тем, что магнитное поле практически не влияет на скорость электронов, поскольку направление электрического и магнитного поля в начале движения электронов совпадают.

Схематическое изображение системы с кольцевым первично-эмиссионным катодом приведено на рис. 1.

Из решения уравнения (2) получаем выражение для распределения электростатического потенциала

в промежутке между первично-эмиссионным катодом и пространством взаимодействия магнетрона (3).

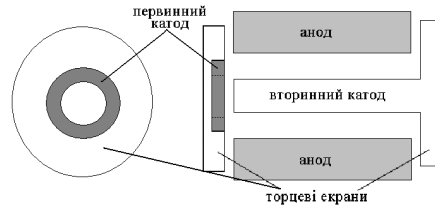


Рис. 1. Схематичное изображение магнетронной системы с вторично-эмиссионным катодом.

Fig. 1. Schematic representation of the magnetron system with secondary-emission cathode

$$u(r, z) = \frac{u_a \ln(r_a \frac{r}{r_k}) z}{\delta \ln\left(\frac{r_a}{r_k}\right)} \quad (3)$$

где  $\delta$  — расстояние между первично-эмиссионным катодом и пространством взаимодействия магнетрона.

Форма распределения потенциала в вышеуказанном промежутке приведена на рис. 2

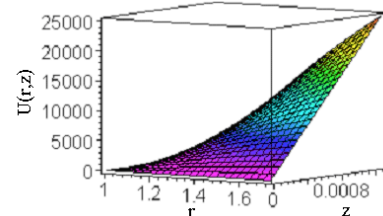
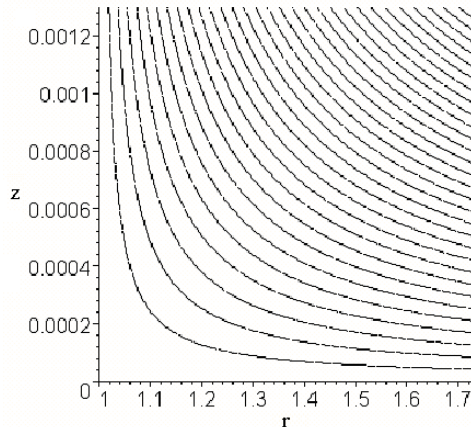


Рис. 2. Форма распределения потенциала в промежутке между первично-эмиссионным катодом и пространством взаимодействия.

Fig. 2. Potential distribution surface in the gap between the first-emission cathode and the interaction space

Эквипотенциалы этого поля приведены на рис. 3.



*Рис. 3. Распределение эквипотенциалей в промежутке между первичноэмиссионным катодом и пространством взаимодействия.*

*Fig. 3. Equipotential distribution in the gap between the first-emission cathode and the interaction space*

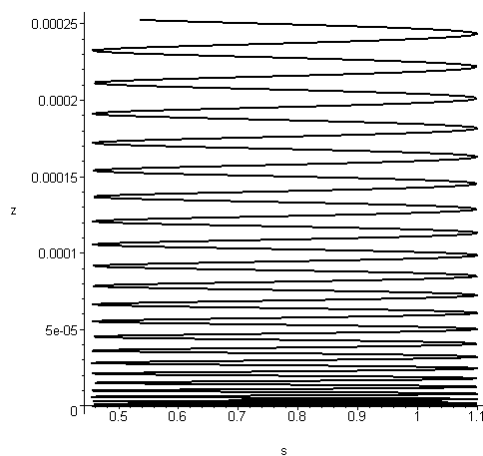
Учитывая распределение потенциала (3) уравнение движения (1) примет вид

$$\frac{d^2z}{dt^2} = |\eta| \frac{\partial U_a \ln \frac{r}{r_k}}{\delta \ln(sa) \hat{z}} \quad (4)$$

Используя это уравнение, исследуем, из какой области первично-эмиссионного катода частицы попадут в пространство взаимодействия.

В работе [1] приведены зависимости распределения плотности частиц, которые попадают на вторично-эмиссионный катод, анод и торцевые экраны при вылете с первично-эмиссионного катода.

Траектории частиц, которые являются решением уравнения (4) приведены на рисунках 4—6.

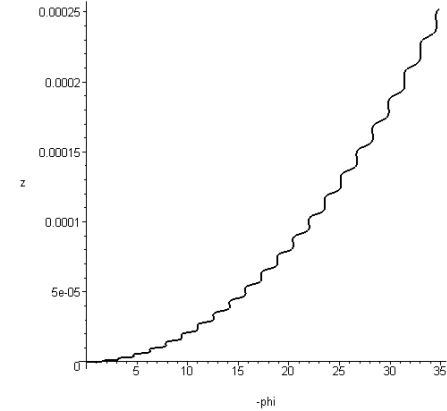


*Рис. 4. Траектория движения частиц в плоскости r, z.*

*Fig. 4. The particles trajectory in r-z plane*

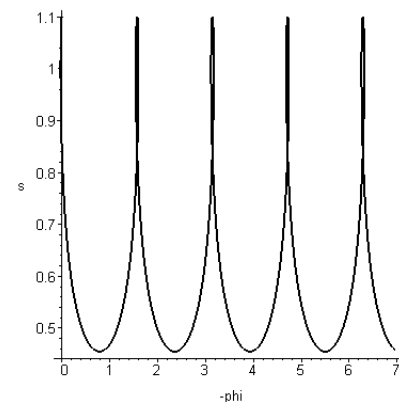
Результаты вычислений показали, что при радиусе вылета первично-эмиссионных электронов от 0 до  $r_k$  первично-эмиссионные электроны попадают в торец вторично-эмиссионного катода и не участвуют в

процессе вторичной эмиссии. При увеличении радиуса первично-эмиссионного катода от  $r_k$  до  $0.95r_A$  электроны попадают в пространство взаимодействия, создавая условия для возникновения вторичной эмиссии. Первично-эмиссионные электроны с радиусом вылета от  $0.95r_A$  до  $r_A$  попадают на анод. И как электроны с радиусом вылета от 0 до  $r_k$  не участвуют в процессе образования вторичной эмиссии.



*Рис. 5. Траектория движения частиц в плоскости z,  $\varphi$ .*

*Fig. 5. The particles trajectory in z- $\varphi$  plane*



*Рис. 6. Траектория движения частиц в плоскости r,  $\varphi$ .*

*Fig. 6. The particles trajectory in r- $\varphi$  plane*

### III. Заключение

1. Следствием перехода от сплошного термоэмиссионного покрытия к кольцу является изменение аксиального распределения мощности бомбардировки вторично-эмиссионного катода.

2. Таким образом, можно считать, что предложенное исследование поможет улучшить расчет и проектирование магнетронов с боковым термоэмиссионным катодом.

### IV. References

- [1] Volovenko M.V., Nikitenko O.M. First cathode simulation in crossed-field devices. *1x1nd Int. Crimean Conf. "Microwave & Telecommunication Technology" (CriMiCo'2001)*. Sevastopol, 2001, pp. 244-245.
- [2] Avtomonov N.I., Sosnytskii S.V., Vavriv D.M. Investigation and Optimization of Auxiliary Cathode for Secondary Emission Cold-Cathode Magnetrons. *Radio physics and radioastronomy*, 2007, vol. 12, No 3, pp. 320-328.